

وزارت علوم، تحقیقات و فناوری
مرکز تحصیلات تکمیلی در علوم پایه
گوازنگ - زنجان



بررسی خواص غیرخطی مواد با استفاده از تکنیک ماره

پایان نامه‌ی کارشناسی ارشد

حسین قاسمی

اساتید راهنما:

دکتر سیف الله رسولی

دکتر حمید رضا خالصی فرد

۱۳۸۷ دی

بِسْمِ اللّٰهِ الرَّحْمٰنِ الرَّحِيْمِ

تقدیم به

پدر رحمت‌کش ، مادر دل‌سوز

همسر صبور

و

خواهران عزیزم

قدردانی و تشکر

ستایش مخصوص خداوند مهربان است.

از پدر زحمتکش و مادر دلسوزم کمال قدردانی را دارم و

از همسر صبور و دلسوزم به خاطر آرامش خاطری که این مدت به من دادند و خواهر عزیزم به خاطر راهنماییها و حمایتها مفیدی که در کسب علم و دانش به این جانب داشته‌اند، کمال قدردانی و تشکر را دارم.

و از استاد گرامی دکتر سیف الله رسولی به خاطر مطالب زیادی که این مدت کم به من آموختند و دکتر خالصی فرد به خاطر فراهم آوردن محیطی دوستانه در آزمایشگاه تشکر می‌کنم.

از دکتر بابک کریمی و آقای فرهاد کبیری که نمونه‌ی نانو ذرات طلا را تهیه و در اختیار ما قرار دادند، همچنین دکتر کبودین که در تهیه‌ی نمونه‌ی رنگینه‌ی آلی Neutral Red و دکتر عمامی که در تهیه‌ی سلول یک میلی‌متری و آقای آرمان جوادی به خاطر خدمات‌شان در تهیه‌ی نمونه‌ی شاره‌ی مغناطیسی تشکر می‌کنم.
زحمات تمامی کسانی که من را در رسیدن به این مرحله از زندگی یاری رساندند ارج می‌نهم.

چکیده

جذب باریکه‌ی لیزر با نمایه‌ی گاوسی توسط نمونه، باعث ایجاد گرadiان دمایی در مقطع باریکه و در داخل نمونه می‌شود. این گرادیان دما منجر به ایجاد گرادیان ضریب شکست با تقارن محوری می‌شود. وجود گرادیان ضریب شکست با تقارن محوری در نمونه مثل یک عدسی عمل می‌کند و نور را منحرف می‌کند، انحراف نور با تکنیک ماره قابل اندازه‌گیری است. در این پایان‌نامه با استفاده از پدیده‌ی تالبوت و تکنیک ماره ضریب شکست غیرخطی با دو روش، پمپ-کاوه و انحراف سنجی ماره‌ی موازی تعیین می‌شود.

در روش اول باریکه‌ی کاوه بعد از عبور از یک باریکه‌ی گسترپهن و موازی می‌شود. این باریکه از میان سلول حاوی نمونه عبور می‌کند و سطح یک توری رانکی را که بر امتداد انتشار باریکه‌ی نور عمود است، روشن می‌کند. در فاصله‌ی تالبوت آن، توری مشابه دیگری قرار می‌گیرد. صفحات این دو توری به موازات همدیگرند و راستای خطوط آن‌ها زاویه‌ی کوچکی با هم می‌سازند. باریکه‌ی پمپ با زاویه‌ی کوچکی نسبت به امتداد باریکه‌ی کاوه از میان نمونه عبور داده می‌شود. در اثر عبور باریکه‌ی پمپ، فریزهای ماره‌ی متناظر با محل عبور پمپ به طور محسوسی نسبت به امتداد اولیه‌ی خود می‌چرخند. با اندازه‌گیری مقدار چرخش فریزهای ماره، فاصله‌ی کانونی مؤثر عدسی گرمایی ایجاد شده و ضریب شکست غیرخطی نمونه تعیین می‌شود.

در روش دوم باریکه‌ی لیزر بعد از عبور از دو سیستم تلسکوپی پهن شده، سطح یک توری رانکی را که بر امتداد انتشار عمود است، روشن می‌کند. صفحات و خطوط این دو توری به موازات همدیگرند. برهم نهی این دو ساختار فریزهای ماره با خطوط موازی را ایجاد می‌کند. در غیاب نمونه فریزهای ماره بی‌کران و در حضور آن به علت تغییر شعاع انحنای نور فرودی به توری اول، گام خود تصویر آن اندکی از گام توری دوم متفاوت است و گام فریزهای ماره ابتدا کاهش و سپس افزایش می‌یابد. این تغییرات فریزهای ماره واپسی به تغییر ضریب شکست در نمونه است. تغییر ضریب شکست ایجاد شده به ضریب شکست غیرخطی و ضریب جذب غیرخطی مربوط است.

در هر دو روش توسط یک عدسی، تبدیل فوریه‌ی ساختار برهم نهی خود تصویر توری اول و توری دوم در کانون آن گرفته شده است. با پایایی مناسب فضایی، طرح زنی فرکانس پایین، یعنی نقش ماره عبور داده و با یک

دوربین مجهر به *CCD* تصاویر نقش ماره گرفته و در حافظه رایانه ثبت شده است.

فهرست

چهار چکیده

نه مقدمه

۱ اپتیک غیرخطی

۲ ۱.۱ ضریب شکست غیرخطی

۴ ۱.۱.۱ انواع فرآیندهای تغییر ضریب شکست

۵ جهت گیری مولکولی

۶ الکترونگش

۹ اثرات گرمایی

۹ ۲.۱.۱ محاسبه‌ی تغییرات دما در امتداد شعاع باریکه

۱۱ ۲.۱ روش‌های اندازه‌گیری ضریب شکست غیرخطی

۱۲ ۱.۲.۱ تداخل سنج ماخ-زندر

۱۳ ۲.۲.۱ تداخل سنج مایکلسوون-مورلی

۱۵	۳.۱ روش خود کانونی سازی
۱۵	۱.۳.۱ روش محدود کننده‌ی توان اپتیکی
۱۶	۲.۳.۱ روش جاروب ^z
		ضریب شکست غیرخطی در غیاب جذب غیرخطی
	۱۷	$\Delta\alpha = 0$
۱۸	تعیین اندازه و علامت ضریب شکست غیرخطی (n_2)
	۲۱	ضریب شکست غیرخطی در حضور جذب غیرخطی ($\Delta\alpha \neq 0$)
		۲ پدیده تالبوت و تکنیک ماره
۲۵	۱.۲ نقش ماره
۲۶	۱.۱.۲ نقش ماره‌ی چرخشی
۲۷	۲.۱.۲ نقش ماره‌ی موازی
۲۸	۲.۲ اثر تالبوت یا خود تصویر سازی
۳۱	۳.۲ انحراف سنجی ماره‌ای
۳۱	۴.۲ به کارگیری روش پالایه‌ی فضایی برای پردازش نقش فریزهای ماره
		۳ اندازه‌گیری ضریب شکست و ضریب جذب غیرخطی مواد با استفاده از پدیده تالبوت و تکنیک ماره
۳۵	۱.۳ استفاده از پدیده تالبوت و تکنیک ماره در آرایش پمپ-کاوه برای اندازه‌گیری ضریب شکست غیرخطی مواد

۱.۱.۲ مبانی نظری

۳۶ ۲.۳ اندازه‌گیری ضریب شکست و ضریب جذب غیرخطی مواد با استفاده از پدیده‌ی تالبوت و انحراف‌سنじ ماره‌ی موازی
۳۹

۳۹ ۱.۲.۲ مبانی نظری

۴۷ ۲.۲.۳ نتیجه‌گیری

۴ کارهای تجربی

۵۱ ۱.۴ روش جاروب

۵۶ ۲.۴ اندازه‌گیری ضریب شکست غیرخطی مواد با استفاده از پدیده‌ی تالبوت و تکنیک ماره در آرایش پمپ-کاوه

۶۲ ۱.۲.۴ تعیین دقیق روش اندازه‌گیری ضریب شکست غیرخطی مواد با استفاده از پدیده‌ی تالبوت و تکنیک ماره در آرایش پمپ-کاوه

۶۴ ۳.۴ اندازه‌گیری ضریب شکست غیرخطی مواد با استفاده از پدیده‌ی تالبوت و انحراف‌سنじ ماره‌ی موازی

۷۹ ۴.۴ محاسبه‌ی خطای روش

۸۰ ۵.۴ نتیجه‌گیری

۸۱ پیوست

۸۲ مراجع

۸۶ واژه‌نامه‌ی فارسی به انگلیسی

۸۸ واژه‌نامه انگلیسی به فارسی

مقدمه

ظهور لیزر و تکامل این نوع منابع نور همدوس، باعث توسعه‌ی اپتیک غیرخطی شده است. اپتیک غیرخطی از کشف تولید هماهنگ دوم در سال ۱۹۶۱ توسط فرانکلین و همکارانش آغاز شد.

بسیاری از پدیده‌های اپتیک غیرخطی از ضریب‌شکست غیرخطی نتیجه می‌شود، که باعث کاربردهای جالبی از این رشته شده است. از جمله این کاربردها موارد زیر را می‌توان نام برد [۱]:

طیف سنجی اپتیکی

تصحیح انحرافات اپتیکی

کلیدزنی اپتیکی

پردازش داده‌های اپتیکی

ارتباطات اپتیکی

یکی از این پدیده‌های غیرخطی، فرآیند گرمایی است. تعیین ضریب شکست غیرخطی با منشاً گرمایی از اهمیت خاصی برخوردار است و کاربردهای جالب توجه از جمله طیف‌سنجی جرمی و میکروسکوپی گرمایی دارد. روش‌های مختلفی برای اندازه‌گیری ضریب شکست غیرخطی، وجود دارد [۳۰، ۱۰]. در این پایان‌نامه دو روش جدید و دقیق برای اندازه‌گیری ضریب شکست غیرخطی مواد ارایه می‌شود در عین هر دو روش در تعیین خواص غیرخطی نمونه‌های مختلف بکار برد می‌شود.

فصل اول این پایان‌نامه، به توصیفی از پدیده‌های غیرخطی و ضریب‌شکست غیرخطی اختصاص یافته است. در این فصل هم‌چنین روش‌های مختلف اندازه‌گیری ضریب‌شکست غیرخطی و ضریب جذب غیرخطی بررسی شده است. تداخل‌سنجی در دو بخش تداخل‌سنج مایکلسون – مورلی و تداخل‌سنج ماخ – زندر بررسی شده است. در انتهای فصل دو روش محدود کننده‌ی توان اپتیکی، روش جاروب χ و عیوب‌ها و مزیت‌های هر کدام بررسی شده است.

در فصل دوم تکنیک ماره و پدیده تالبوت بررسی شده است. انحراف‌سنجی ماره‌ای و پالایه‌ی فضایی برای افزایش تباين فریزها در انتهای فصل آورده شده است.

در فصل سوم مطالعه‌ی نظری اندازه‌گیری خصوصیات غیرخطی مواد با استفاده از پدیده‌ی تالبوت و تکنیک ماره مورد بررسی قرار گرفته است. مزیت‌های این روش بر روش‌های قبلی و عیب‌های آن نیز، بیان شده است.

در فصل چهارم داده‌های تجربی سه روش جاروب z ، استفاده از پدیده‌ی تالبوت و تکنیک ماره در آرایش پمپ – کاوه و استفاده از پدیده‌ی تالبوت و انحراف سنجی ماره‌ی موازی آورده شده است.

نتایج تجربی این سه روش و منحنی‌های به دست آمده از این داده‌ها در این فصل آورده شده است.

ضریب‌شکست غیرخطی نمونه‌های مختلف با استفاده از روش دوم به دست آمده است. ضریب‌شکست غیرخطی با استفاده از روش سوم استخراج شد. نتایج به دست آمده از هر دو روش، با روش استاندارد جاروب z تا اندازه‌ی زیادی مطابقت دارد.

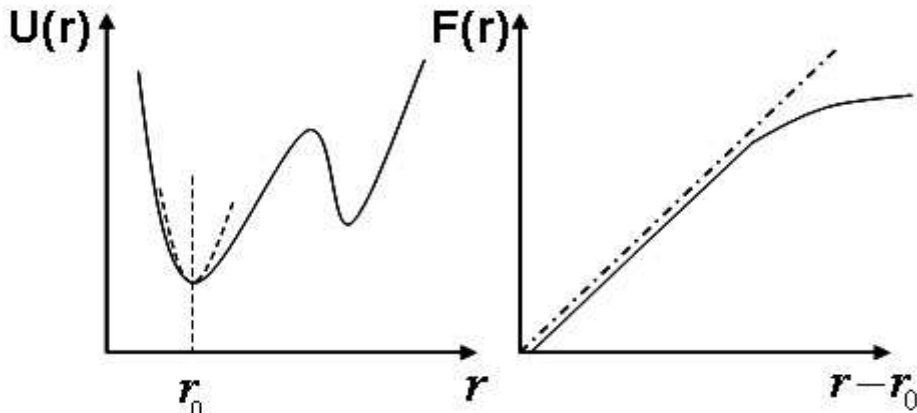
در فصل آخر چشم‌اندازی به ادامه‌ی کار ارائه می‌شود.

فصل اول

اپتیک غیرخطی

هنگامی که نور از میان ماده منتشر می‌شود، باعث به نوسان در آمدن بارهای اتمی می‌شود. در یک ماده خطی میزان جابه‌جایی بار، متناسب با اندازه میدان آنی به کار رفته است، و نوسان بارها مشابه نوسان میدان اعمالی است. برای یک ماده همسانگرد و همگن، نور تاییده شده درجه‌ته مشابه جهت نور فرودی منتشر می‌شود [۲]. در یک ماده غیرخطی، مقدار جابه‌جایی بار از نقطه تعادلش تابعی غیرخطی از میدان الکتریکی است. همه مواد هنگامی که در معرض نور باشد به اندازه کافی بالا قرار می‌گیرند، پاسخ غیرخطی از خود نمایش می‌دهند. با استفاده از شکل صفحه‌ی بعد می‌توان پاسخ اپتیکی غیرخطی را بهتر درک کرد. شکل (۱-۱) انرژی پتانسیل نوعی و نیروی مؤثر اعمالی به بارهای ماده‌ی فرضی را نمایش می‌دهد [۳]. بار، کمترین انرژی را در 20° دارد. برای نیروهای کوچک، جابه‌جایی بار اندک است و آن را با یک پتانسیل هارمونیک (منحنی نقطه‌چین سمت چپ) و یک نیروی خطی (منحنی نقطه‌چین سمت راست) می‌توان تقریب زد. هنگامی که جابه‌جایی از نقطه‌ی تعادل بزرگ می‌شود، تقریب هارمونیک شکسته شده و نیرو دیگر تابعی خطی از جابه‌جایی نخواهد بود. هنگامی که بارها در یک مولکول به یک پتانسیل هارمونیک محدود شده باشند، گشتاور دوقطبی القایی به طور خطی به میدان به کار رفته مربوط می‌شود. اگر بارها در یک مولکول به یک پتانسیل غیرهارمونیک محدود شده باشند، پاسخ مولکول غیرخطی است. در این مورد، گشتاور دوقطبی القایی تابعی غیرخطی از میدان به کار رفته

خواهد بود [۳].



شکل ۱-۱: منحنی انرژی پتانسیل (سمت چپ) و نیرو (سمت راست) به شکل تابعی از جایه‌جایی را نمایش می‌دهد [۳].

۱.۱ ضریب‌شکست غیرخطی

ضریب‌شکست تعداد زیادی از مواد اپتیکی، وابسته به شدت نور عبوری از ماده است [۴]. در این فصل توصیفی از ضریب‌شکست غیرخطی ارائه می‌شود.

هنگامی که به یک ماده میدان الکتریکی اعمال شود، در آن ماده گشتاور دوقطبی القاء می‌شود. قطبش \vec{P} که به صورت گشتاور دوقطبی القا شده در واحد حجم تعریف می‌شود، یک سری توانی از میدان الکتریکی \vec{E} است. هنگامی که ماده غیرخطی باشد، یعنی داشته باشیم [۵]،

$$\vec{P}(\vec{r}, t) = \vec{P}^{(0)}(\vec{r}, t) + \vec{P}^{(1)}(\vec{r}, t) + \vec{P}^{(2)}(\vec{r}, t) + \dots, \quad (1)$$

در این رابطه قطبش‌ها، $\vec{P}^{(n)}$ در جملات میدان‌های به کار رفته، \vec{E} ، به صورت زیر بیان می‌شوند.

$$\vec{P} = \vec{P}^{(0)} + \chi^{(1)} \cdot \vec{E} + \chi^{(2)} \cdot \vec{E}^2 + \dots \quad (2)$$

که $\chi^{(n)}$ پذیرفتاری مرتبه‌ی n است. با استفاده از روابط (۱) و (۲)، \vec{P} قطبش غیرخطی مرتبه‌ی دوم و $\vec{P}^{(3)} = \chi^{(3)} \vec{E}^3$ قطبش غیرخطی مرتبه‌ی سوم و ... می‌باشند.

رابطه‌ی بین پذیرفتاری و ضریب‌شکست به صورت زیر تعریف می‌شود^[۴]،

$$n^2 = 1 + 4\pi\chi, \quad (3)$$

در عین حال ضریب‌شکست اغلب مواد با رابطه‌ی زیر توصیف می‌شود^۱،

$$n = n_0 + \bar{n}_2 < \vec{E}^2 >, \quad (4)$$

که n_0 نمایش دهنده‌ی ضریب‌شکست میدان ضعیف، \bar{n}_2 ثابت اپتیکی جدید (ضریب‌شکست غیرخطی مرتبه‌ی دوم) و برآکت بر روی میدان نمایش دهنده‌ی متوسط‌گیری زمانی است. اگر میدان اپتیکی به صورت زیر باشد،

$$\vec{E}(t) = E(\omega)e^{-i\omega t} + c.c, \quad (5)$$

بعد از متوسط‌گیری زمانی داریم،

$$< \vec{E}^2(t) > = 2E(\omega)E^*(\omega) = 2|E(\omega)|^2, \quad (6)$$

با استفاده از روابط (۴) و (۶) به تیجه‌ی زیر می‌رسیم،

$$n = n_0 + 2\bar{n}_2|E(\omega)|^2. \quad (7)$$

این رابطه به معنای آن است که تغییر ضریب‌شکست مواد متناسب با مربع شدت میدان به کار رفته است. برهم‌کنش نور با ماده‌ی اپتیکی غیرخطی در جملات قطبش غیرخطی قابل توصیف است. بخش قطبش غیرخطی، مطابق رابطه‌ی (۲)، انتشار باریکه با فرکانس ω را به صورت زیر تحت تأثیر قرار می‌دهد،

$$P^{(NL)}(\omega) = 3\chi^{(3)}|E(\omega)|^2E(\omega), \quad (8)$$

برای ساده سازی در اینجا فرض شده است که قطبش نور خطی و همچنین ماده همسانگرد است. قطبش کل به صورت زیر بیان می‌شود.

$$P^{(TOT)}(\omega) = \chi^{(1)}E(\omega) + 3\chi^{(3)}|E(\omega)|^2E(\omega) \equiv \chi_{eff}E(\omega) \quad (9)$$

^۱ علامت برابر روی \bar{n}_2 به خاطر عدم تداخل با ضریب‌شکست غیرخطی n_2 است.

که پذیرفتاری مؤثر به صورت زیر تعریف می‌شود [۴].

$$\chi_{eff} = \chi^{(1)} + 3\chi^{(3)}|E(\omega)|^2 \quad (10)$$

همچنین با استفاده از روابط (۳)، (۷) و (۱۰) داریم،

$$\bar{n}_2 = \frac{3\pi\chi_{eff}}{n_0}. \quad (11)$$

با استفاده از روابط (۷) و (۱۰) و (۱۱) ضریب‌شکست وابسته به شدت به صورت زیر تعریف می‌شود،

$$n = n_0 + n_2 I, \quad (12)$$

که n_2 ضریب‌شکست غیرخطی است و شدت با میدان توسط رابطه زیر مربوط می‌شود،

$$I = \frac{n_0 c}{2\pi} |E(\omega)|^2. \quad (13)$$

۱.۱.۱ انواع فرآیندهای تغییر ضریب‌شکست

پدیده‌های اپتیکی غیرخطی به دو نوع، فرآیندهای الکترونیکی و غیرالکترونیکی تقسیم می‌شوند [۶]. مورد اول به برهم‌کنش‌های تابشی، بین الکtron و میدان الکتریکی نور مربوط می‌شود که معمولاً خیلی سریع، از مرتبه‌ی پیکوثانیه، هستند. به عنوان نمونه، تولید هماهنگ دوم و سوم را می‌توان نام برد. فرآیندهای غیرالکترونیکی برهم‌کنش‌های غیرتابشی مثل تغییرات دما، چگالی و... هستند. در این فرآیندها معمولاً فرکانس جدیدی تولید نمی‌شود.

انواع فرآیندهای فیزیکی که باعث تغییر غیرخطی در ضریب‌شکست می‌شوند، در جدول (۱-۱) آورده شده است. ضریب‌شکست غیرخطی n_2 و همچنین زمان پاسخ این فرآیندها آورده شده است.

جدول (۱-۱) - مقادیر ضریب شکست غیرخطی [۴].

ساز و کار	$n_2(cm^2/W)$	زمان پاسخ دهی (s)
قطبش الکترونیکی	10^{-16}	10^{-15}
جهت گیری مولکولی	10^{-14}	10^{-12}
کشندگی الکتریکی	10^{-14}	10^{-9}
اثرات گرمایی	10^{-6}	10^{-3}
اثر نور شکستی	بزرگ	وابسته به شدت

در بخش های زیر ساز و کار جهت گیری مولکولی، الکتروتنگش و اثرات گرمایی بررسی شده است.

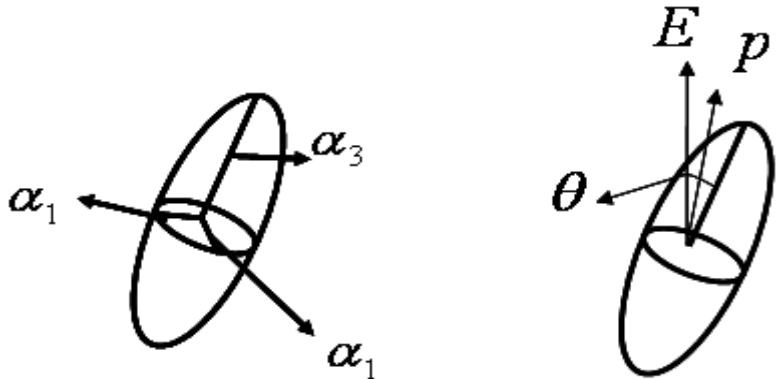
جهت گیری مولکولی

محلول های آلی تشکیل دهنده مولکول های غیر همسانگرد، نوعاً با مقدار n_2 بزرگ، هستند. منشأ غیر خطیت در این محلول ها وابسته به جهت گیری مولکول ها با میدان اپتیکی به کار رفته است. به عنوان مثال کریم دی سولفات (CS_2)، مطابق شکل (۱-۲)، یک مولکول سیگاری شکل دارد. قطبش پذیری این مولکول که به وسیله ی یک میدان تجربه می شود، در دو راستا متفاوت است در راستای محور تقارن آن بزرگ تر از راستای عمود بر محور تقارن آن است،

$$\alpha_3 > \alpha_1.$$

با اعمال میدان DC در جهت نمایش داده شده به مولکول و با توجه به یکسان نبودن قطبش پذیری در راستای محور تقارن و راستای عمود بر آن، گشتاور دوقطبی p موازی میدان نخواهد بود و باعث ایجاد گشتاور و جهت گیری آن با میدان می شود. این جهت گیری با تحریکات گرمایی تحت تأثیر قرار می گیرند و منجر به جهت گیری کاتورهای مولکول ها می شود.

فاکتور بولتزمن در محاسبه ی درجه ی میانگین جهت گیری مولکولی، به حساب آورده می شود. همچنین با فرض میدان اپتیکی ضعیف، تغییرات ضریب شکست وابسته به برهم کنش غیرخطی به شکل زیر به دست



شکل ۱-۲: نمایش دهنده‌ی یک مولکول سیگاری شکل فرضی مثل CS_2 (سمت چپ) و گشتاور دوقطبی القا شده (سمت راست) توسط میدان الکتریکی است [۴].

می‌آید [۴]،

$$\delta n = \frac{4\pi N}{45n_0} (\alpha_3 - \alpha_1)^2 \frac{\bar{E}^2}{kT}.$$

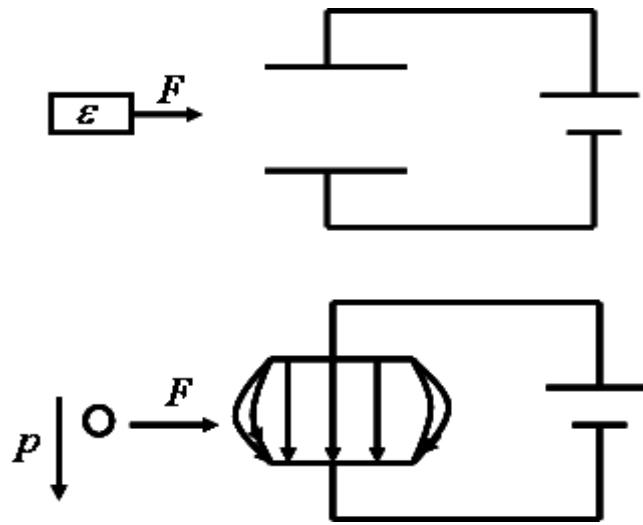
که N دانسیته‌ی تعداد مولکولها، T دما و n_0 ضریب شکست محیط است. با استفاده از رابطه‌ی (۳) و با درنظر گرفتن اثرات تصحیح میدان موضعی $\ddot{\alpha}$ ، ضریب شکست غیرخطی مرتبه‌ی دوم به صورت زیر خواهد شد [۴]،

$$\bar{n}_2 = \frac{4\pi N}{45n_0 kT} \left(\frac{n_0^2 + 2}{3} \right)^4 (\alpha_3 - \alpha_1)^2.$$

الکتروتنگش

الکتروتنگش خصوصیت همه‌ی مواد غیرهادی یا دی‌الکتریک‌ها است، به صورتی که تحت اثر میدان الکتریکی این مواد تغییر شکل می‌دهند (در مقابل مغناطیس‌تنگش) [۷]. مبدأ این اثر در رفتار قطعه‌ای دی‌الکتریک که در میدان الکتریکی بین صفحات خازن قرار گرفته، قابل توجیه است. مطابق شکل (۱-۳) نیرویی باعث کشیدن این قطعه به سمت میدان باشد بیشتر می‌شود. منشاء این نیرو به ماکزیمم‌سازی انرژی پتانسیل بر می‌گردد.

localized ۲



شکل ۱-۳: منشأ الکتروتنگش : (بالا) یک قطعه دیالکتریک، (پایین) یک مولکول نزدیک به صفحات موازی خازن [۴].

انرژی پتانسیل بر واحد حجم این ماده، بعد از اعمال میدان نسبت به قبل از آن به مقدار زیر تغییر می‌کند،

$$u = \frac{\epsilon E^2}{8\pi},$$

که ϵ ثابت دیالکتریک ماده است و انرژی پتانسیل سیستم به مقدار $\int udV$ افزایش می‌یابد. با استفاده از رابطه‌ی (۲) نیروی به کار رفته روی یک مولکول از ماده به صورت زیر است،

$$F = -\nabla U = \frac{1}{2}\chi\nabla(E^2).$$

رابطه‌ی بالا نمایش دهنده‌ی این است که هر مولکول به سمت میدان بیشتر کشیده می‌شود. با فرض این که ماده‌ی دیالکتریک، مایعی همسانگرد است، میدان الکتریکی باعث ایجاد تغییر چگالی مایع بین صفحات خازن می‌شود. تغییر چگالی باعث تغییر در ثابت دیالکتریک به صورت زیر می‌شود،

$$\Delta\epsilon = \frac{\partial\epsilon}{\partial\rho}\Delta\rho. \quad (14)$$

در نتیجه تغییر چگالی انرژی به صورت زیر در می‌آید،

$$\Delta u = \frac{E^2}{8\pi}\Delta\epsilon = \frac{E^2}{8\pi}\left(\frac{\partial\epsilon}{\partial\rho}\Delta\rho\right).$$

با استفاده از قانون اول ترمودینامیک انرژی مساوی با کار انجام شده در ماده است. کار انجام شده بر واحد

حجم به صورت زیر است،

$$\Delta w = p_{st} \frac{\Delta \rho}{\rho}.$$

که p_{st} سهم فشار ماده در حضور میدان الکتریکی است. با مساوی قرار دادن Δw با Δu ، فشار الکتروتنگشی

به صورت زیر به دست می آید،

$$p_{st} = -\rho \frac{\partial \epsilon}{\partial \rho} \frac{E^2}{8\pi} \equiv -\gamma_e \frac{E^2}{8\pi}, \quad (15)$$

که $\gamma_e = \rho \partial \epsilon / \partial \rho$ ثابت الکتروتنگشی است. فشار نهایی در ناحیه هایی که شدت میدان بیشتر است، کاهش می باید، در نتیجه p_{st} منفی است. میزان تغییرات چگالی $\Delta \rho = -(\frac{\partial \rho}{\partial p}) \Delta p$ با استفاده از رابطه (15)

به صورت زیر به دست می آید،

$$\Delta \rho = -\rho \left(\frac{1}{\rho} \frac{\partial \rho}{\partial p} \right) p_{st} \equiv -\rho C p_{st},$$

$$\Delta \rho = \rho C \gamma_e \frac{E^2}{8\pi},$$

که $\Delta \chi = \Delta \epsilon / 4\pi = (1/\rho) \partial \rho / \partial P$ فشار پذیری است. تغییر در پذیرفتاری الکتریکی در حضور میدان به شکل تعريف می شود. با استفاده از رابطه (14) داریم،

$$\Delta \chi = \frac{1}{32\pi^2} C \gamma_e^2 \langle \tilde{E}^2 \rangle.$$

با فرض اعمال میدان اپتیکی تکفام، قطبش غیرخطی که از این تغییر پذیرفتاری نتیجه می شود، به صورت زیر است،

$$P = \frac{1}{16\pi^2} C_T \gamma_e^2 |E|^2 E$$

و با استفاده از رابطه (8) پذیرفتاری غیرخطی مرتبه سوم به صورت زیر به دست می آید،

$$\chi^{(3)} = \frac{1}{48\pi^2} C_T \gamma_e^2.$$

که C_T فشار پذیری در دمای ثابت است [4].

اثرات گرمایی

در این بخش اثرات گرمایی تولید کننده‌ی تغییرات ضریب‌شکست مورد بررسی قرار می‌گیرد. باریکه‌ی لیزر به نمونه برخورد می‌کند. این باریکه در حین عبور از نمونه توسط نمونه جذب می‌شود، و گرادیان دما در مقطع باریکه و در داخل نمونه ایجاد می‌کند. این گرادیان دما منجر به ایجاد گرادیان ضریب‌شکست می‌شود. معمولاً این تغییر ضریب‌شکست با افزایش دما منفی و عدسی ایجاد شده شبیه عدسی واگرا است. در بعضی نیمه‌هادی‌ها لبه‌ی باند جذبی با افزایش دما انتقال به سرخ^۳ خواهد داشت (اثر فرانز-کلدیش^۴، این پدیده باعث ایجاد تغییر ضریب‌شکست مثبت می‌شود. تغییر ضریب‌شکست ایجاد شده، عدسی گرمایی نامیده می‌شود. گسترش این باریکه در هر دو میدان نزدیک و دور به به عنوان پدیده‌ی شکوفه‌سازی گرمایی^۵ شناخته می‌شود[۱]. با اعمال مداوم میدان اپتیکی، عدسی گرمایی در نمونه ایجاد و قدرت آن پس از زمان مشخصی به بیشینه مقدار خود می‌رسد.

شكل‌گیری این نوع عدسی‌های گرمایی در مقیاس ده‌ها میکروثانیه تا صدها میلی ثانیه رخ می‌دهد. با شکل‌گیری عدسی گرمایی در نمونه، پدیده خودهم‌گرایی یا خودواگرایی برای باریکه‌ی عبوری از نمونه اتفاق می‌افتد.

اثر عدسی گرمایی اولین بار توسط گُردن و همکارانش در سال ۱۹۶۵ مشاهده شد[۸]. آن‌ها در چیدمانی که به منظور مطالعه‌ی طیف رامان در مایعات چیده بودند، اثر عدسی گرمایی را مشاهده کردند. در گزارشی که آن‌ها دادند، ضمن توصیف مهم‌ترین مشاهدات در آزمایش، اثر عدسی ایجاد شده در نمونه را شرح دادند و با اندازه‌گیری شعاع انحنای باریکه‌ی منحرف شده، تغییرات ضریب‌شکست ایجاد شده در نمونه را به دست آورden.

۲.۱.۱ محاسبه‌ی تغییرات دما در امتداد شعاع باریکه

آهنگ شارش گرما به صورت زیر تعریف می‌شود،

$$-kS \frac{d\theta}{dx} = \frac{dQ}{dt} = \dot{Q}, \quad (16)$$

red-shift^۳

Franz- Keldish^۴

Thermal Bloombing^۵